



A Comparative Study of the Properties of Mica in Rhizosphere and Bulk Soil Under Different Plant Covering.

Salman K. Essa

Ali I. Hussein Al-Qaisi

University of Baghdad / College of Agriculture

Submission Track

Received : 13/9/2017

Final Revision : 24/9/2017

Keywords

Mica , Rhizosphere , X-Ray.

Corresponding

salman.essa.52@gmail.com

Abstract

Results of x-ray diffractions for Bulk soil, represented by the horizontal distance 50H, show the presence of low-crystalline chlorite, smectite and regular interstratified chlorite- smectite in soil under Citrus aurantium trees. Results of clay sample in soil of palm tree show a presence of smectite and swelling chlorite, while the presence of the interstratified minerals is very low. Also the results show a presence of swelling chlorite, smectite and Biotite in soil of Morus trees. Generally, the results show that the process of mica transformation into 2:1 minerals in the Bulk soil, is very weak.

The x-ray results show that the rhizosphere soil(0) of Citrus aurantium trees content is smectite and mica, with regular interstratified mica-smectite, while the results show the presence of smectite, chlorite, and regular interstratified chlorite- smectite and mica-smectite, in rhizosphere soil of palm trees. As well as the inspection of clay samples of Morus trees, show the presence of chlorite and smectite with two types of interstratified minerals, irregular smectite-mica and regular mica-smectite.

In general, the results of x-ray show that the transformation process of mica to 2:1 expandable minerals in rhizosphere soil exceeds the Bulk soil of all type of trees. While the superiority of mica weathering, and increase of Smectite content in all rhizosphere soils are taken as in the following sequence:

Morus trees soil > Palm trees soil > Citrus aurantium trees soil

المقدمة

وهذا يعكس التداخل بين التربة والجذر الذي يشوبه كثير من التعقيد مما يصعب التفريق بين حدوده، وهو غير متجانس في المساحة والزمن. كما أن النشاط الجذري يجعل من منطقة الرايزوسفير بيئة مختلفة عما حولها من التربة غير المتأثرة بهذا النشاط Bulk Soil، وبسبب هذا النشاط تتحرر كثير من المركبات العضوية كالسكريات والسكريات المتعددة والأحماض الامينية والعضوية والدهنية بالإضافة الى الستيرويدات والأنزيمات وغيرها والنتيجة من عملية التركيب الضوئي والعمليات الأخرى في منطقة الرايزوسفير لتربة النباتات النامية Pinton وآخرون ، (2007). وصف Hinsinger وآخرون ، 2009 مصطلح الرايزوسفير بأنه التربة المجاورة لجذور النباتات والمتأثرة بها، والتي تكون ذات نشاط ميكروبي عالي، ويرى ذلك بوضوح من حيث توفر المواد الغذائية والماء والاكسجين في جسم التربة Bulk soil في ظروف من الاكسدة ودرجة تفاعل التربة.

كما ذكر Dieffenbach و Matzner ، (2000) و Wang وآخرون ، (2001) بأن التربة القريبة من سطح الجذور تختلف بشكل واضح عن التربة البعيدة عنه، إذ لاحظوا تفاوت

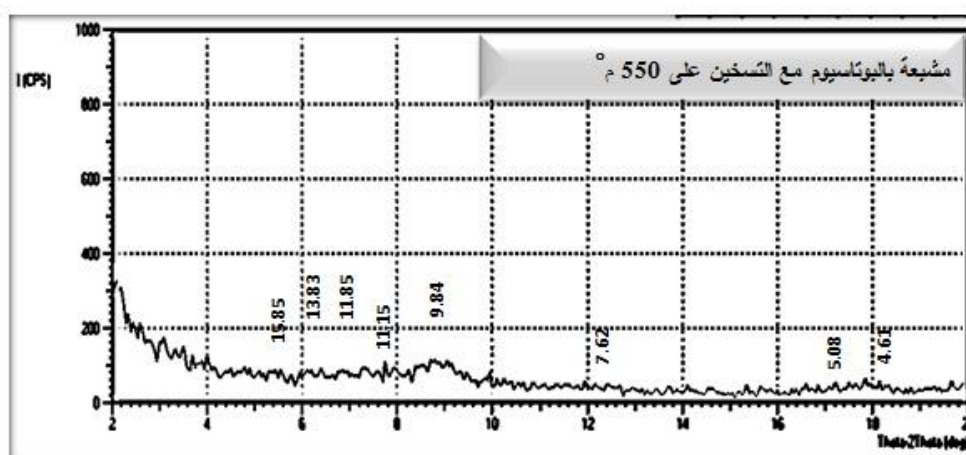
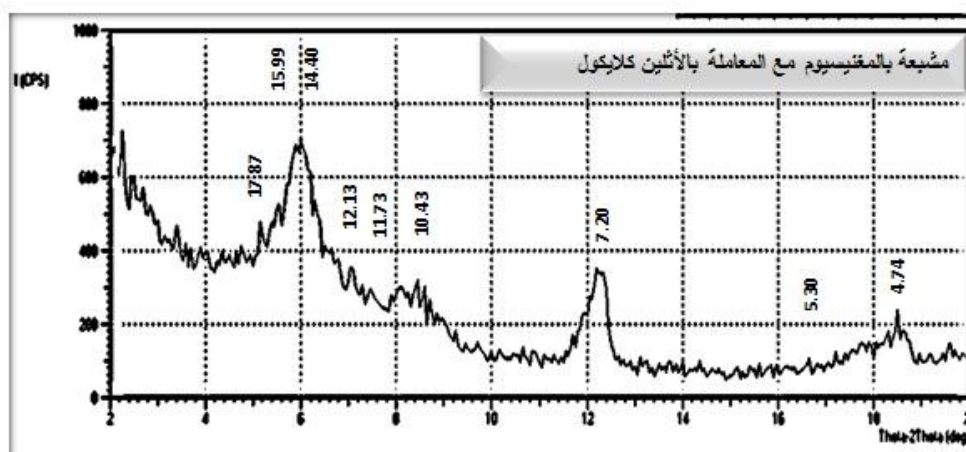
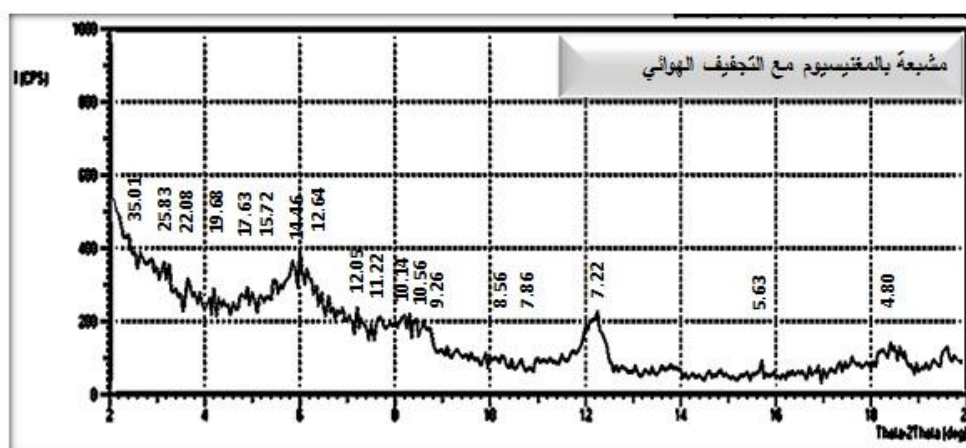
ذكر Ryan و Delhaize ، (2001) أن الرايزوسفير منطقة من التربة تحيط جذور النبات وقريبة منها، والتي تتغير بفعالية الجذر. وإن تعاقب النمو الطبيعي والتطور يعكس تأثير النباتات واستجابتها لبيئتها، أو تتبادل المواد العضوية وغير العضوية بين الجذر والتربة، والتي تؤدي إلى تغير واضح لا يمكن إهماله في الخصائص الفيزيائية والكيميائية والبايوكيميائية للرايزوسفير. كما أشار Hinsinger وآخرون ، (2005) الى أن الرايزوسفير هو عبارة عن كمية التربة حول جذور النباتات النامية والمتأثرة بالنشاط الجذري، والتي تختلف في الخصائص الفيزيائية والبايوكيميائية والبيولوجية عن جسم التربة، وتحدث فيه عمليات التنفس وامتصاص الماء والمغذيات والتحلل الجذري. وأشار Gregory ، (2006) الى أن الرايزوسفير هو المنطقة المحيطة بالجذر والتي تتأثر به، والعامل المؤثر يحدد حجمها جزئياً وأنيماً، وتتراوح من أجزاء المليمتر الواحد للمستعمرات الميكروبية والمغذيات غير المتحركة إلى عشرات المليمترات للمغذيات المتحركة والماء، وقد تزداد إلى عشرات من المليمترات للمركبات الطيارة والغازات المتحررة من الجذر،



معدي الكلورايت والسمكتايت في النموذج المذكور (Sawhney ، 1969).

أظهرت النتائج ظهور الحبيود $9.26 A^{\circ}$ و $10.14 A^{\circ}$ و $10.56 A^{\circ}$ ضمن معاملة التشبييع بالمغنيسيوم والجافة هوائيا مما يؤكد وجود معادن المايكا، وأن ظهور معادن المايكا بتلك المسافات القاعدية المتعددة يعكس تعرضها الى مراحل مختلفة من التجوية والتحول باتجاه معادن $14 A^{\circ}$ المتعددة. وتأكيدا لهذا الافتراض هو ظهور العديد من الحبيود ($11.22 A^{\circ}$ ، $12.05 A^{\circ}$ ، $12.64 A^{\circ}$) ضمن المسافة المحصورة بين حبيود معادن المايكا $9.26 A^{\circ}$ وحبيود المعادن المتعددة $14.46 A^{\circ}$ في معاملة التشبييع بالمغنيسيوم والجافة هوائيا، وأن وجود تلك الحبيود يدل على ظهور حالة استطباق Interstratification للمعادن الواقعة عند تلك المسافة، وأن تلك الحبيود تنحرف جميعها باتجاه المسافة القاعدية $9.84 A^{\circ}$ في معاملة التشبييع بالبوتاسيوم والمسخنة الى درجة حرارة $550^{\circ}C$ ، الأمر الذي يدل على أن تلك المعادن موروثية اصلا من معادن المايكا.

ظهر عند المعاملة بالأثلين كلايكلول بمسافتين قاعدتين $14.40 A^{\circ}$ و $15.99 A^{\circ}$ ، ثم أدى تسخين النموذج الى درجة $550^{\circ}C$ بقاء الحبيود $13.83 A^{\circ}$ لكن بشدة ضعيفة جدا. إن ظهور الحبيود من خلال المعاملات أنفة الذكر وعند تلك المسافات القاعدية يشير الى وجود معدي الكلورايت والسمكتايت في النموذج، وأن ظهور الحبيود $13.83 A^{\circ}$ وبشدة ضعيفة في معاملة التسخين الى درجة $550^{\circ}C$ يدل على وجود معدن الكلورايت ضعيف التبلور أو ما يطلق عليه بالكلورايت المنتفخ Swelling chlorite. وتأكيد لوجود معدي الكلورايت والسمكتايت في النموذج المذكور أظهرت نتائج الفحص أيضا وجود الحبيود $35.01 A^{\circ}$ ضمن معاملة التشبييع بالمغنيسيوم والجافة هوائيا والذي يمثل المعدن المستطباق المنتظم (كلورايت- سمكتايت) Regular Interstratified Chlorite- Smectite، كما أن ظهور الحبيود عند المسافة القاعدية $17.63 A^{\circ}$ ضمن النموذج نفسه (معاملة التشبييع بالمغنيسيوم والجافة هوائيا) يمثل الحبيود الثاني للمعدن المستطباق (كلورايت- سمكتايت) ويؤكد وجود



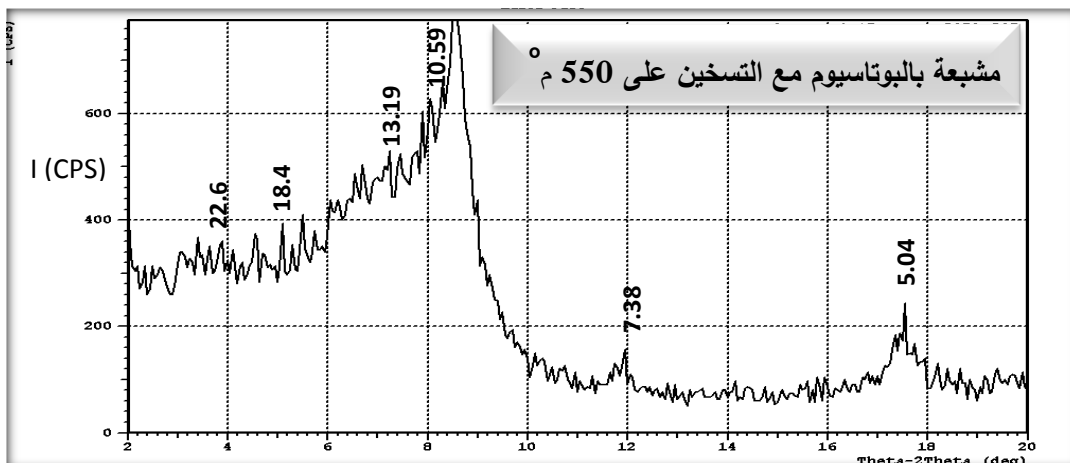
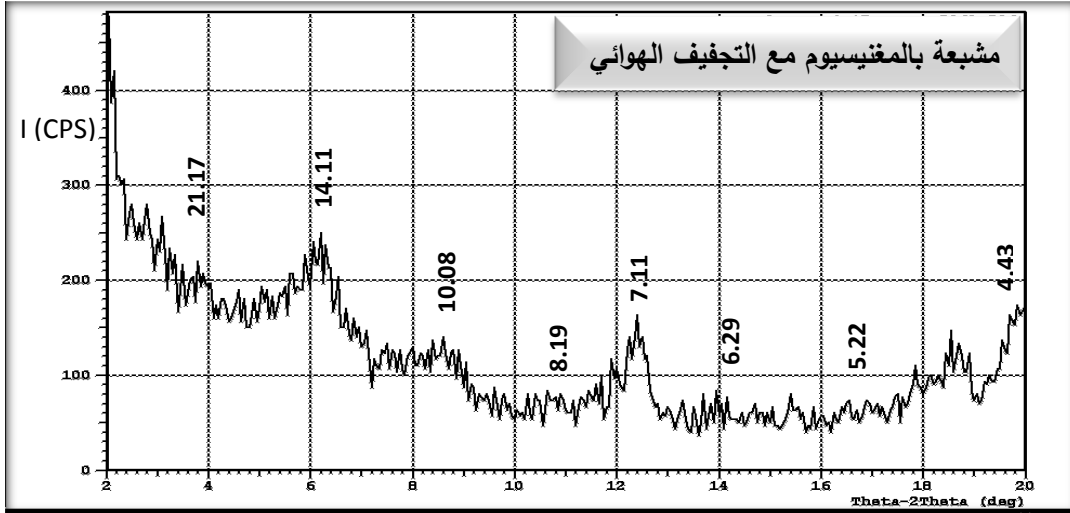
شكل (1) الأشعة السينية الحائدة لنموذج أطيان تربة أشجار النارنج والمسافة الأفقية (50 H). حين يكون الحيود للنموذج المشع بالأثلين كلايكون عند المسافة القاعدية ($14 A^{\circ} < 18 A^{\circ}$) Tyler و Bailey (1960). وتأكيذا لتواجد المعدن المستطيق المنتظم (مايكا - سمكتايت) في النموذج، فقد أظهرت نتائج الفحص في شكل 1 لأطيان تربة النارنج عند المسافة (50 H) وجود كتف صغير

كذلك اظهرت النتائج وجود الحيود $25.83 A^{\circ}$ ضمن معاملة التشبيح بالمغنيسيوم والجافة هوائيا، والذي يمثل الحيود الأول للمعدن المستطيق المنتظم (مايكا - سمكتايت)، وأن الحيود الثاني d_{002} له يقع عند المسافة القاعدية ($15.0 A^{\circ} - 15.7 A^{\circ}$) في المعاملة المشبعة بالمغنيسيوم والجافة هوائيا، في

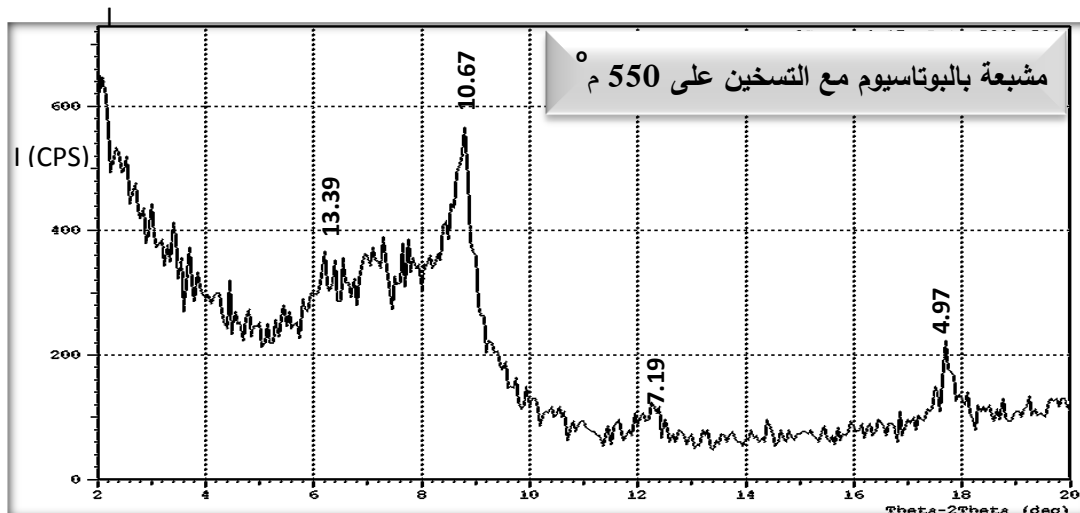
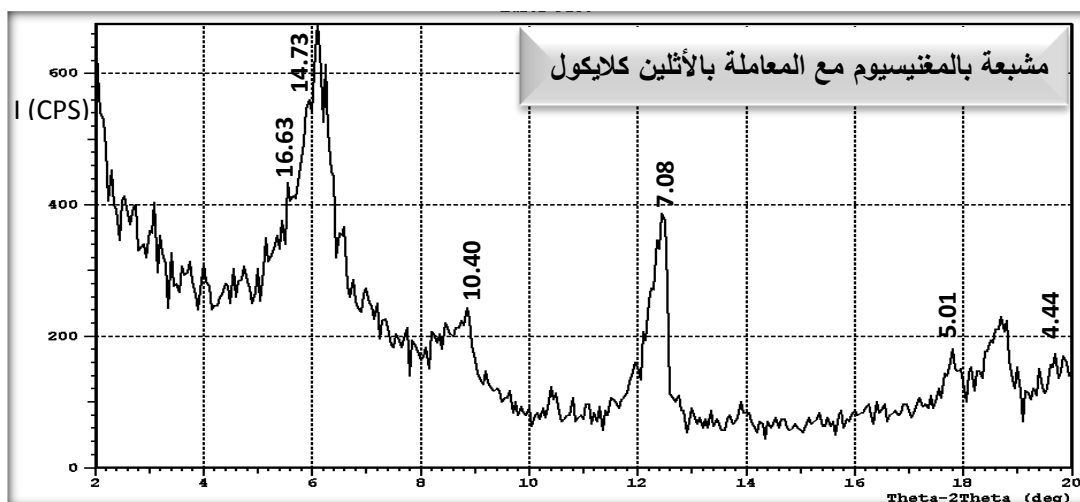
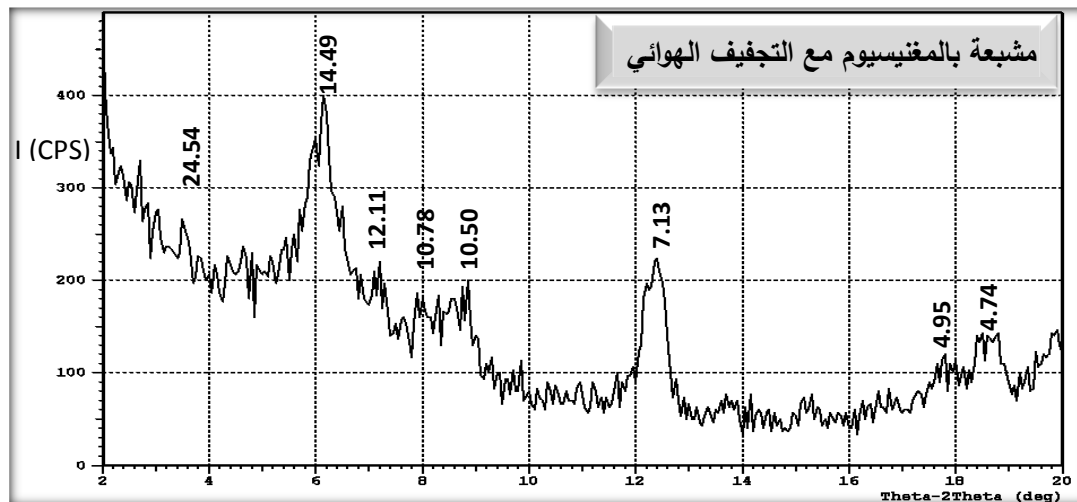


معاملات التسخين إلى اختفائه، وقد شاطره في ذلك الرأي العديد من الدراسات التي أجريت على الترب العراقية ومنها (الجاف، 2006 و الوطيفي، 2012 و الفتلاوي، 2016). ظهرت معادن المايكا من خلال حيودها الواضح عند المسافة القاعدية - $10.08 \text{ A}^{\circ} \text{ ds}$ في معاملة التشبييع بالمغنيسيوم والجافة هوائياً والذي بقي ثابتاً في المعاملات جميعها. كذلك بينت النتائج أن شدة الحيود 5 A° والذي يمثل الحيود الثاني لمعادن المايكا كانت قوية ضمن معاملة التسخين إلى درجة 550 M مما يشير إلى أن معدن المايكا المتواجد في النموذج هو معدن المسكوفيت Dixon Muscovite وآخرون (1977). إن ظهور الحيود 21.77 A° في معاملة التشبييع بالمغنيسيوم والجافة هوائياً واستمرار تواجده بمسافة قاعدية 22.66 A° يدل على وجود المعدن المستطبق المنتظم (مايكا- سمكتايت) (M-S) في النموذج. وبشكل عام لوحظ أن نسبة تواجد المعادن المستطبقة Interstratified Minerals في نموذج أطيان تربة النخيل وعند المسافة الأفقية (50 H) كانت قليلة جداً مما يؤكد أن عملية تحول معادن المايكا باتجاه معادن 2:1 المتمددة كانت هي الأخرى ضعيفة. أظهرت نتائج الفحص لنموذج أطيان تربة أشجار التوت عند المسافة الأفقية (50 H) في شكل 3 ظهور الحيود 14.12 A° ضمن النموذج عند معاملة التشبييع بالمغنيسيوم والجافة هوائياً، ثم أدت معاملة التشبييع بالأثلين كلايكون إلى ظهور الحيود بمسافتين قاعديتين ds هما 14.73 A° و 16.63 A° ، ثم أدت معاملة التشبييع بالبوتاسيوم والمسخنة إلى درجة حرارة 550 M إلى بقاء الحيود 13.39 A° لكن بشدة ضعيفة. إن ظهور الحيود عند تلك المسافات القاعدية وفي المعاملات جميعها يؤكد وجود معدني الكلورايت والسمكتايت في النموذج. وإن ظهور الحيود عند المسافة القاعدية - $\text{ds} \text{ A}^{\circ}$ 13.39 وبشدة ضعيفة في معاملة التسخين إلى درجة 550 M يؤكد وجود معدن الكلورايت ضعيف التبلور (المنتفخ) Swelling chlorite (Dixon وآخرون، 1977).

عند جهة الزاوية الكبرى Shoulder on the hige-angle side للحيود 14.46 A° في النموذج المشبع بالمغنيسيوم والجاف هوائياً، ثم أدت المعاملة بالأثلين كلايكون إلى زيادة وضوح الكتف المذكور ليظهر عند المسافة القاعدية 15.99 A° ، في حين ظهر الكتف المذكور بشكل حيود ليظهر عند المسافة القاعدية 15.85 A° ، وذلك في معاملة التشبييع بالبوتاسيوم والمسخنة إلى درجة حرارة 550 M . إن ظهور الحيود عند تلك المسافات القاعدية يمثل الحيود الثاني للمعدن المستطبق (مايكا - سمكتايت). إذ أن زيادة وضوح الحيود عند المعاملة بالأثلين كلايكون قد ترجع إلى استجابة المعدن المتمدد (السمكتايت) ضمن تركيبة المعدن المستطبق، كذلك فإن ظهور الحيود بشكل منفرد عند معاملة التشبييع بالبوتاسيوم والمسخنة إلى درجة حرارة 550 M ترجع إلى عدم استجابة المايكا للمعاملة المذكورة والتي أدت إلى انكماش Collapse السمكتايت ضمن تركيبة المعدن المستطبق (Bethke وآخرون، 1986 Moore و Reynolds 1989). بينت نتائج فحوصات الأشعة السينية الحائدة x-ray في شكل 2 والخاص بنموذج أطيان تربة أشجار النخيل عند المسافة الأفقية (50 H)، وجود الحيود 14.11 A° في معاملة التشبييع بالمغنيسيوم والجافة هوائياً، ثم أدت معاملة النموذج بالأثلين كلايكون إلى ظهور الحيودين عند المسافة القاعدية 14.94 A° و 18.59 A° ، في حين اختفى الحيودين في معاملة التشبييع بالبوتاسيوم والتسخين إلى درجة الحرارة 550 M . إن ظهور الحيودين عند تلك المسافات القاعدية يؤكد تواجد معدني السمكتايت والكلورايت غير الحقيقي (المنتفخ)، كون أن معدن الكلورايت حافظ على مسافته القاعدية 14.94 A° ضمن معاملة التشبييع بالأثلين كلايكون ثم اختفائه في معاملة التسخين إلى درجة 550 M ، إذ بين Dixon وآخرون (1977) أن معدن الكلورايت غير الحقيقي (المنتفخ) يحافظ على مسافته القاعدية 14 A° ضمن معاملي التشبييع بالمغنيسيوم والجافة هوائياً والتشبييع بالأثلين كلايكون ثم تؤدي



شكل (2) الأشعة السينية الحادة لنموذج أطيان تربة أشجار النخيل والمسافة الأفقية (50 H).



شكل (3) الأشعة السينية الحائدة لنموذج أطيان تربة أشجار التوت والمسافة الأفقية (50 H).



في شكل 4 والخاصة بنموذج أطيان تربة رايزوسفير النارنج(0) وجود الحبيد⁰ A⁰ 23.80 في معاملة التشبيح بالمغنيسيوم والجافة هوائياً، والذي يمثل المعدن المستطابق المنتظم(مايكا- سمكتايت) (M-S) Regular Interstratified، كما أن تمدد الحبيد⁰ A⁰ 23.80 في معاملة التشبيح بالأثلين كلايكلول ليصل الى المسافة القاعدية- ds⁰ A⁰ 24.25 يعود الى استجابة المعدن المتمدن(السمكتايت) ضمن تركيبة المعدن المستطابق لتلك المعاملة، في حين أدت معاملة التشبيح بالبوتاسيوم والمسخنة الى درجة حرارة 550 م⁰ الى انكماش Collaps الحبيد المذكور ليصل الى المسافة القاعدية - ds⁰ A⁰ 10.12 نتيجة الى عدم استجابة المايكا للمعاملة المذكورة والتي أدت الى انكماش السمكتايت ضمن تركيبة المعدن المستطابق (Khademi و Naderizadeh ، 2010)

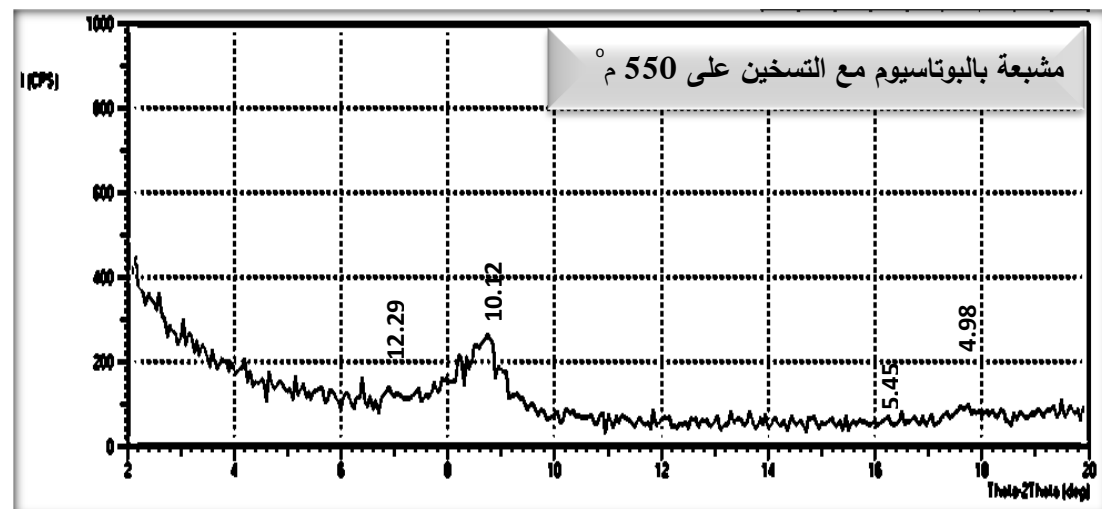
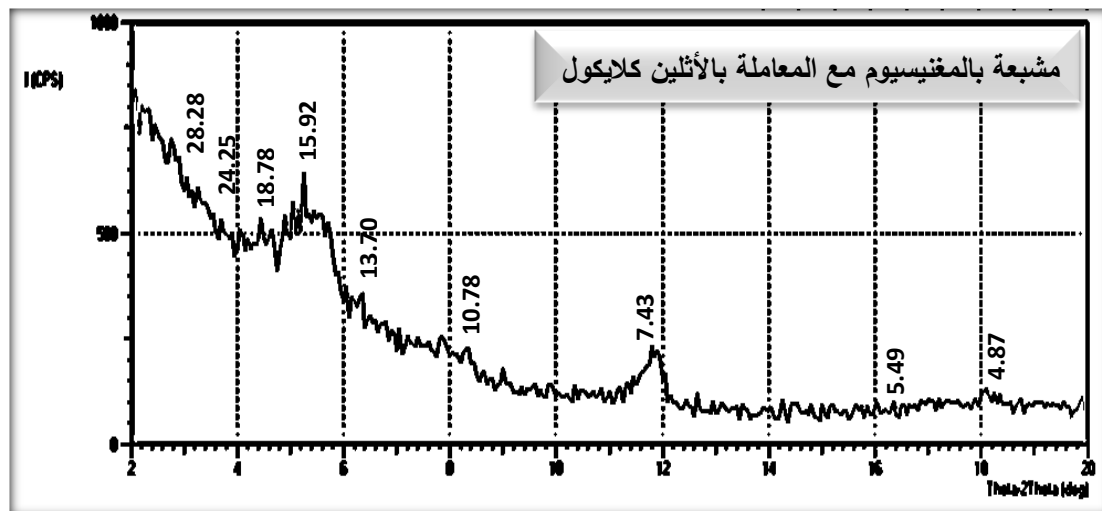
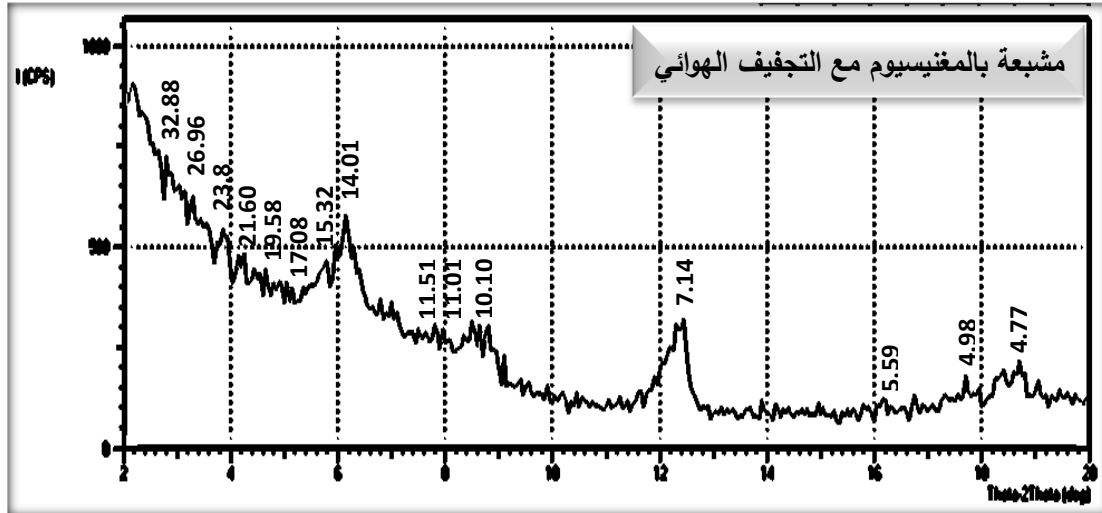
اظهرت نتائج الفحوصات في شكل 4 وجود الحبيد عند المسافة القاعدية- ds⁰ A⁰ 32.88 ضمن معاملة التشبيح بالمغنيسيوم والجافة هوائياً، رافقه ظهور الحبيد⁰ A⁰ 15.32 ضمن المعاملة نفسها، وأن ظهور الحبيد عند تلك المسافات القاعدية يمثل الحبيد الاول والثاني على التتابع للمعدن المستطابق المنتظم(كلورايت-سمكتايت) (Ch-S) Regular Bailey)، Interstratified Clorite- Smectite (Tyler ، 1960 ؛ الجاف ، 2006).

كما بينت النتائج أن نسبة المعادن المستطابقة غير المنتظمة Iregular Interstratified minerals والتي تتواجد ضمن المسافة المحصورة بين الحبيد⁰ A⁰ 10 والحبيد⁰ A⁰ 14 كانت قليلة والتي تمثلت بالحبيدين⁰ A⁰ 11.01 و⁰ A⁰ 11.51. ضمن معاملة التشبيح بالمغنيسيوم والجافة هوائياً كما أن معاملة التشبيح بالأثلين كلايكلول لم تظهر سوى الحبيد⁰ A⁰ 13.70 والتي عادة ما تؤدي الى تقوية شدة حبيد المعادن المستطابقة نتيجة لاستجابة المعادن المتمددة ضمن المعدن المستطابق لتلك المعادن، إذ تؤكد تلك النتائج وجود المعدن المستطابق غير المنتظم(مايكا- سمكتايت) (M-S) في النموذج مع ارتفاع نسبة معدن المايكا ضمن تركيبة المعدن المستطابق، كما تؤكد أن عملية تحول معادن المايكا باتجاه المعادن المتمددة 2:1 كانت منخفضة في تلك التربة.

كما بينت النتائج في شكل 3 ظهور الحبيد⁰ A⁰ 10.17 في معاملة التشبيح بالمغنيسيوم والجافة هوائياً وبقائه ثابت في المعاملات جميعها، والذي يدل على وجود معادن المايكا في النموذج، كما أن ظهور الحبيد الثاني لمعادن المايكا عند المسافة القاعدية- ds⁰ A⁰ 5.01 وبشدة ضعيفة يؤكد تواجد معدن البايوتايت Biotite في النموذج. كما أظهرت النتائج وجود الحبيد⁰ A⁰ 7.13 في معاملة التشبيح بالمغنيسيوم والجافة هوائياً وعدم ظهورها في معاملة التسخين 550 م⁰ والذي يؤكد وجود معدن الكاؤولينايت في النموذج، وأن ظهور الحبيد⁰ A⁰ 7.19 وبشدة ضعيفة في معاملة التسخين 550 م⁰ يعود الى الحبيد الثاني لمعدن الكلورايت، وتأكيداً على ذلك هو ظهور الحبيد الثالث للمعدن عند المسافة القاعدية- ds⁰ A⁰ 4.44 في معاملي التشبيح بالمغنيسيوم والجافة هوائياً ومعاملة التشبيح بالأثلين كلايكلول واختفائها في معاملة التسخين 550 م⁰ كون المعدن من نوع الكلورايت ضعيف التبلور (المنتفخ) (الوظيفي ، 2012).

ترب منطقة الرايزوسفير Rhizosphere soils

اظهرت نتائج الفحص بالأشعة السينية الحائدة x-ray لنماذج أطيان تربة الرايزوسفير(0) وللترب الواقعة تحت أشجار النارنج، النخيل، والتوت في الأشكال 4، 5، 6. إذ أظهرت نتائج الفحوصات الخاصة بنموذج أطيان تربة الرايزوسفير للنارنج(0) كما في شكل 4 وجود الحبيد⁰ A⁰ 14.01 في معاملة التشبيح بالمغنيسيوم والجافة هوائياً، والذي اتسعت مسافته القاعدية- ds⁰ A⁰ لتصل الى⁰ A⁰ 15.92 عند معاملة التشبيح بالأثلين كلايكلول، ثم عادت تلك المسافة القاعدية لتختفي بمعاملة التشبيح بالبوتاسيوم والمسخنة الى درجة حرارة 550 م⁰. وإن ظهور الحبيد المذكور عند تلك المسافات القاعدية يؤكد وجود معدن السمكتايت في النموذج. كذلك أظهرت النتائج وجود الحبيد⁰ A⁰ 10.10 في معاملة التشبيح بالمغنيسيوم والجافة هوائياً، وبقائه ثابت⁰ A⁰ 10.10، 10.78، 10.12 A⁰، A⁰ في المعاملات جميعها مما يؤكد وجود معادن المايكا في النموذج المذكور، وإن ظهور الحبيد الثاني⁰ A⁰ 4.98 لتلك المعادن وبشدة ضعيفة يؤكد وجود معدن البايوتايت Biotite في النموذج. كما بينت نتائج الفحوصات



شكل (4) الأشعة السينية الحائدة لنموذج أطيان تربة الرايزوسفير لأشجار الفارنج (0).



النموذج. كذلك اظهرت النتائج وجود نوعين من المعادن المستطبقة في تلك التربة هي المعادن المستطبقة غير المنتظمة متمثلة بالمعدن المستطبقة غير المنتظم (سمكتايت-مايكا) (S-M) والذي ظهر عند المسافة القاعدية -11.15 ds⁰ في معاملة التشبييع بالمغنيسيوم والجافة هوانيا، والذي أدت معاملة التشبييع بالأثلين كلايكلول الى اتساع مسافته القاعدية -ds لتصل الى 12.29 A⁰ نتيجة لاستجابة معدن السمكتايت ضمن المعدن المستطبقة لتلك المعاملة، في حين أدت معاملة التسخين الى درجة حرارة 550 م° الى تحول مسافته القاعدية الى 9.63 A⁰. كما اظهرت النتائج وجود المعادن المستطبقة المنتظمة، وذلك من خلال تواجد المعدن المستطبقة المنتظم (مايكا- سمكتايت) والذي ظهر حيوده الاول 23.80 A⁰ وحيوده الثاني 12.46 A⁰ ضمن معاملة التشبييع بالمغنيسيوم والجافة هوانيا. كما بينت النتائج وجود المعدن المستطبقة المنتظم (كلورايت- سمكتايت) من خلال الحيود 26.81 A⁰ ضمن معاملة التشبييع بالمغنيسيوم والجافة هوانيا، والذي اتسعت مسافته القاعدية -ds الى 35.01 A⁰ في معاملة التشبييع بالأثلين كلايكلول، في حين أدت معاملة التسخين الى درجة حرارة 550 م° الى ظهور حيود المعدن عند المسافة القاعدية -ds 24.41 A⁰.

أظهرت النتائج في شكل 6 وجود الحيود 10.17 A⁰ في معاملة التشبييع بالمغنيسيوم والجافة هوانيا وبقائه ثابت في المعاملات اللاحقة جميعها، مما يؤكد وجود معادن المايكا في النموذج، وأن ظهور الحيود الثاني للمعدن عند المسافة القاعدية -ds 5.01 A⁰ وبشدة ضعيفة يؤكد تواجد معدن البايوتايت في النموذج. إن ظهور الحيودين 7.19 A⁰ و 7.62 A⁰ ضمن معاملة التشبييع بالمغنيسيوم والجافة هوانيا ثم اختفاء أحدهما وظهور الثاني ضمن معاملة التسخين الى درجة حرارة 550 م° عند المسافة القاعدية -ds 7.11 A⁰ يؤكد تواجد معدن الكاولينايت في النموذج وان ظهور المسافة القاعدية 7.11 A⁰ ضمن معاملة التسخين الى درجة حرارة 550 م° تعود الى الحيود الثاني لمعدن الكلورايت.

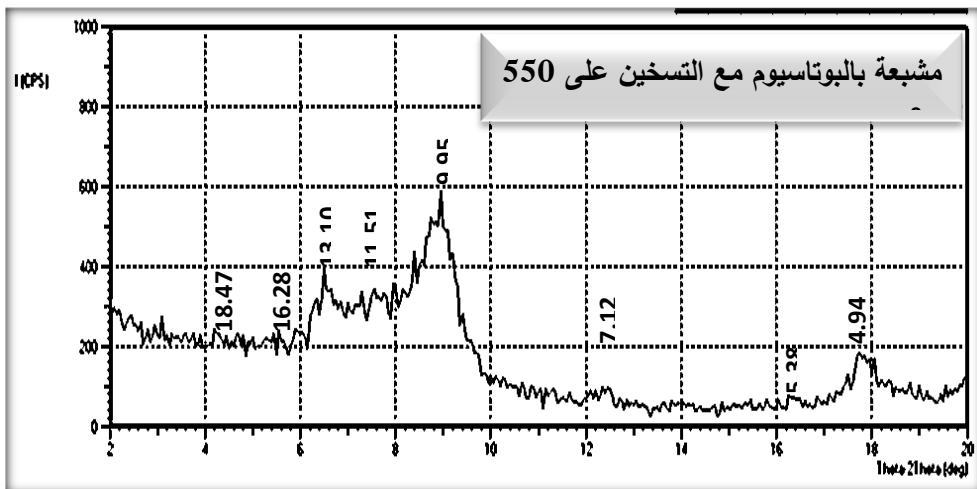
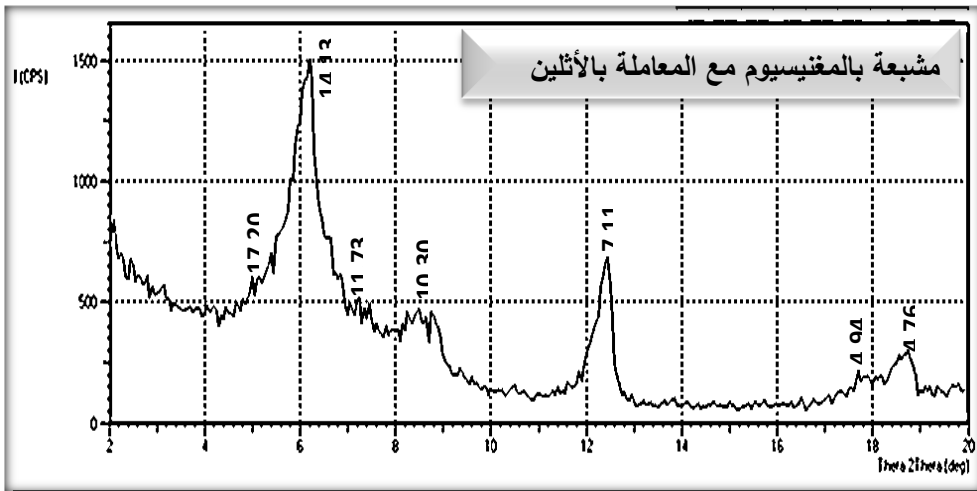
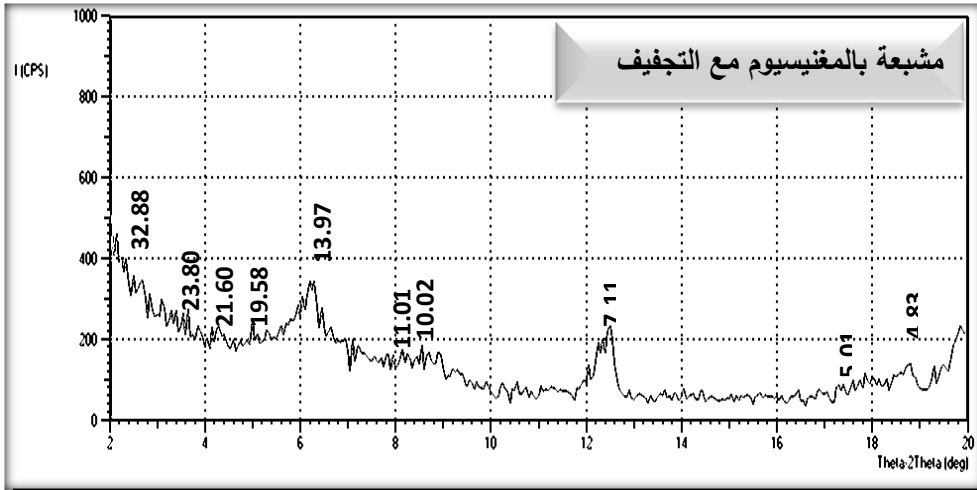
وبشكل عام أظهرت نتائج فحوصات الاشعة السينية الحائدة X-ray لنماذج ترب الدراسة عند المسافة الأفقية (50 H) وترب منطقة الرايزوسفير للنارنج، والنخيل، والتوت فوق ترب مناطق الرايزوسفير لتلك الأشجار في عمليات التجوية لمعادن المايكا وتحولها باتجاه معادن 2:1 المتمددة، مقارنة بترب المسافات الأفقية (50 H) لتلك الأشجار، وذلك من خلال ما أظهرته نتائج الفحوصات من سيادة المعادن المستطبقة وكذلك مساحات وشدة حيود المعادن 2:1 المتمددة 14 A⁰ على حساب مساحات وشدة الحيود لمعادن المايكا ضمن ترب منطقة الرايزوسفير.

أظهرت نتائج فحوصات الأشعة السينية الحائدة X-ray في شكل 5 والخاصة بنموذج أطيان تربة الرايزوسفير لأشجار النخيل (0)، إذ بينت وجود الحيود 13.97A⁰ في معاملة التشبييع بالمغنيسيوم والجافة هوانيا، ثم ظهوره بقميتين عند المسافة القاعدية 14.13 A⁰ و 17.20 A⁰ في معاملة التشبييع بالأثلين كلايكلول، وقد أدت معاملة النموذج بتسخينه الى درجة حرارة 550 م° الى انخفاض شدة الحيود لتصبح عند المسافة القاعدية -ds 13.10 A⁰ وأرتفاع شدة الحيود 9.95 A⁰ على حسابها. إن ظهور الحيود عند تلك المسافات القاعدية ومن خلال المعاملات المختلفة تؤكد تواجد معدني السمكتايت والكلورايت في النموذج، وأن معدن السمكتايت موروث أصلا من معادن المايكا.

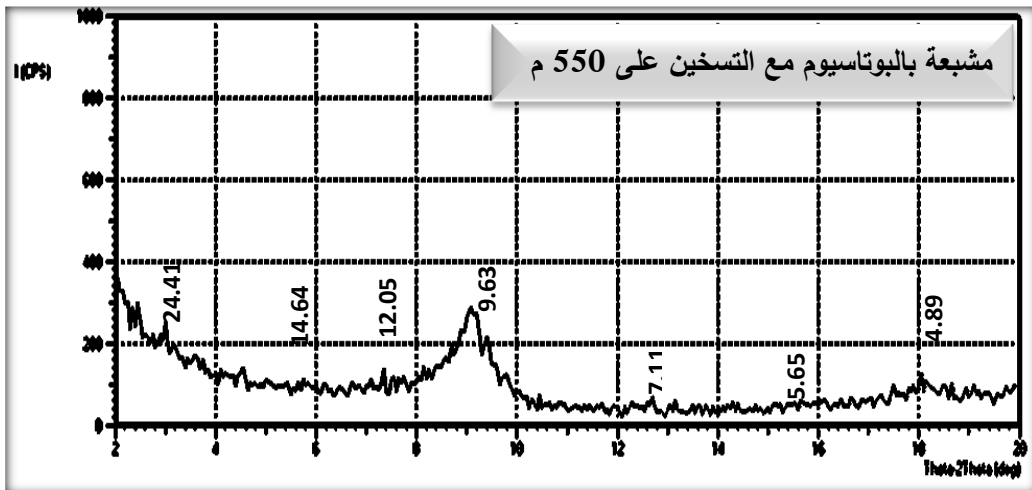
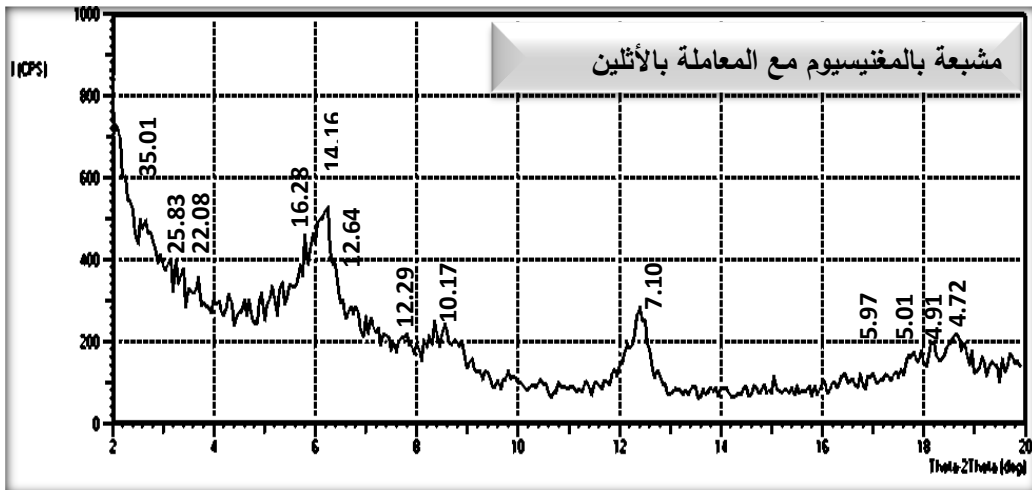
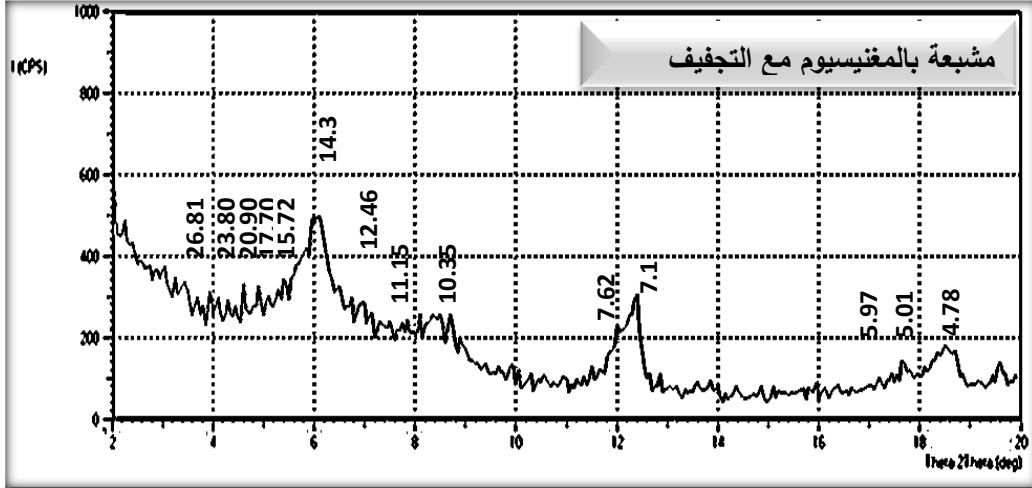
كذلك اظهرت النتائج وجود الحيود 10.02 A⁰ ضمن معاملة التشبييع بالمغنيسيوم والجافة هوانيا وبقائه ثابت في المعاملات جميعها، مما يؤكد تواجد معدن المايكا في النموذج، كما أن ظهور الحيود الثاني للمعدن عند المسافة القاعدية -ds 5.01 A⁰ وبشدة منخفضة ضمن المعاملة نفسها يشير الى أن معدن البايوتايت هو الأكثر سيادة من بين معادن المايكا المتواجدة في النموذج.

بينت النتائج أيضا ظهور حالة استطباق Interstratification للمعادن في تلك التربة وذلك من خلال ظهور المعدن المستطبقة غير المنتظم (مايكا- سمكتايت) والمتمثل بظهور الحيود عند المسافة القاعدية 11.01 A⁰ في معاملة التشبييع بالمغنيسيوم والجافة هوانيا، والتي أدت معاملة التشبييع بالأثلين كلايكلول الى اتساع المسافة القاعدية للحيود المذكور لتصل الى 11.73 A⁰ وذلك نتيجة لاستجابة المعدن المتمدد 2:1 (السمكتايت) ضمن تركيبة المعدن المستطبقة للمعاملة المذكورة. كذلك اظهرت النتائج وجود المعادن المستطبقة المنتظمة Regular Interstratified mineral من خلال ظهور الحيود عند المسافات القاعدية -ds 32.88 A⁰ و 23.80 A⁰ ضمن معاملة التشبييع بالمغنيسيوم والجافة هوانيا والتي تمثل المعدنين المستطبقتين المنتظمين (كلورايت-سمكتايت) (Ch-S) و (مايكا-سمكتايت) (M-S) على التتابع (Bailey و Tyler ، 1960 ؛ Sawhney ، 1969 ؛ الجاف ، 2006).

أما فيما يخص الفحوصات المعدنية لأطيان تربة أشجار التوت عند منطقة الرايزوسفير، فقد اظهرت النتائج في شكل 6 وجود الحيود 14.16 A⁰ في معاملة التشبييع بالمغنيسيوم والجافة هوانيا والذي أدت معاملة التشبييع بالأثلين كلايكلول الى ظهوره عند المسافتين القاعدتين 14.38 A⁰ و 17.70 A⁰ ثم بقاءه عند المسافة القاعدية -ds 14.64 A⁰ ضمن معاملة التشبييع بالبوتاسيوم والمسخنة الى درجة حرارة 550 م°، إذ تؤكد تلك النتائج وجود معدني الكلورايت والسمكتايت في



شكل (5) الأشعة السينية الحادة لنموذج أطياف تربة الرايزوسفير لأشجار النخيل(0).



شكل (6) الأشعة السينية الحائدة لنموذج أطيان تربة الرايزوسفير لأشجار التوت (0).



- Jackson, M.L. 1979. Soil chemical analysis: Advanced course. 2nded. Madison, WI: Jackson, M.L. Univ. of Wisconsin. 895p.
- Kunze, G. W., 1962. Pretreatment for mineralogical analysis. Reprint of Section prepared for methods monograph published by the Soil.Sci. Soc. of Am. 13 P.
- Leyval, C. and Berthelin, J. 1991. Weathering of mica by roots and rhizospheric microorganisms of pine. Soil Sci. Soc. Am. J., 55: 1009–1016.
- Mehra, C.P. and M.L. Jackson. 1960. Iron oxide removal from soils and clays by adithonite citrate system buffered with sodium bicarbonate. Clay and Clay Miner., 7: 317- 327.
- Moore, D.M. and Reynolds, C. 1989. X- ray diffraction and the analysis of clay minerals. Oxford university press, Oxford. 332 pp.
- Pinton, R. ; Z. Varanini and P. Nannipieri. 2007. The Rhizosphere: Biochemistry and organic substances at the soil– plant interface. 2nd edn., CRC press ,Taylor and Francis Group. 447p .
- Rabenhors, M.C. and Wilding, L.P. 1984. Method to obtain carbonate free residues from lime stone and petrocalcic materials. Soil Sci. Soc. Am. J., 84: 216-219.
- Ryan, p. and E. Delhaize, 2001. Function and mechanism of organic anion exudation from plant roots. Annu. Rev. Plant Physiol. Plant Mol. Biol., 52: 527– 60.
- Sawhney, B.L. 1969. Regularity of interstratifications as affected by charge density in layer silicates. Soil Sci. Soc. Am. Proc.,33: 42- 46.
- Theisen, A.A. and M.E. Harward. 1962. A past method for preparation of slide for clay mineral identification by x-ray diffraction .Soil Sci. Soc. Am. Proc., 26: 90- 91.
- المصادر**
- الجاف، بارزان عمر أحمد محمد. (2006). طبيعة تكوين وتواجد المعادن المستتبقة والعوامل المؤثرة فيها في بعض الترب العراقية. أطروحة دكتوراه. كلية الزراعة- جامعة بغداد.
- الفتلاوي ، لمى عبد الاله صكبان. (2016). أثر مصدر الترسيب في الخصائص المعدنية والعناصر الثقيلة لبعض ترب محافظتي واسط وميسان. أطروحة دكتوراه. كلية الزراعة- جامعة بغداد .
- الوطيفي، عباس صدير سروان. (2012). أثر التراقق الموقعي لمعدني الكلورايت والمونتموريلونايت في الخواص الفيزيوكيميائية لبعض الترب العراقية. أطروحة دكتوراه. كلية الزراعة- جامعة بغداد- البصرة.
- Bailey, S.W. and Tyler. 1960. The structure of triclinic potassium feldspar Acta . Cryst., 8: 621- 632.
- Bethke, C.M., Vergo, N., and Altaner, S.P. 1986. Pathways of smectite illitization: Clays & Clay Minerals 34, 125 – 135.
- Dieffenbach, A. and E. Matzner. 2000. In situ soil solution chemistry in the rhizosphere of mature Norway spruce(Picea abies L. Karast) trees. Plant and Soil, 222: 149- 161.
- Dixon, J.B. and Weed, S.B. Kittrick, J.A., Milford, M.H. and White, J.L. 1977. Minerals in soil environments. Published by Soil Sci. Soc. Am. Madison Wisconsin in USA. Rbentine group minerals. In: Minerals in soil environments. (Dixon, J.B. and Weed, S.B.). 2nd. Soil Sci. Am. Madison, Wisconsin, USA, 635- 668p.
- Gregory, P.J. 2006. Roots, rhizosphere and soil: the route to a better understanding of soil science?. European Journal of Soil Science. 57: 2- 12.
- Hinsinger, P., G.R. Gobran, P.J. Gregory, and W.W. Wenzel. 2005. Rhizosphere geometry and heterogeneity arising from root-mediated physical and chemical processes. New Phytol. 168: 293–303.
- Hinsinger P., Bengough A. G., Vetterlein D. and Young I. M. 2009. Rhizosphere: biophysics, biogeochemistry and ecological relevance. Plant Soil 321: 117- 152.



دراسة مقارنة لخصائص معادن المايكا في منطقتي الرايزوسفير وكتلة جسم التربة Bulk Soil تحت غطاء نباتي مختلف.

علي عيسى حسين القيسي

سلمان خلف عيسى

كلية الزراعة / جامعة بغداد

الخلاصة

اختيرت ثلاثة مواقع لترب في محافظة كربلاء المقدسة/ منطقة الحسينية، ولثلاثة أنواع من الأشجار (التوت، النخيل، النارج)، إذ تميزت تلك الترب بتشابهها بالنسجة، ومادة الأصل وذات طوبوغرافية مستوية، ولها ظروف مناخية وكمية أمطار متساوية، وذلك لدراسة تأثير فعالية العمليات الكيموحيوية لمنطقة الرايزوسفير في تجوية معادن المايكا ومقارنتها مع كتلة جسم التربة Bulk Soil باستخدام تقنية الفحص بالأشعة السينية الحادة X-ray. بينت نتائج الفحص بالأشعة السينية الحادة X-ray وكتلة جسم التربة متمثلة بالمسافة الأفقية H 50، وجود معدني الكلورايت ضعيف التبلور والسمكنايت في نموذج أطيان ترب أشجار النارج، مع وجود المعدن المستطبق المنتظم كلورايت/ سمكنايت، كما أظهرت النتائج الخاصة بنموذج أطيان تربة أشجار النخيل، وجود معدني السمكنايت والكلورايت المنتفخ، وأن نسبة تواجد المعادن المستطبة كانت قليلة جداً، في حين تواجد معدني الكلورايت المنتفخ والبايوتايت في نموذج أطيان تربة أشجار التوت. كما أظهرت النتائج أن عملية تحول معادن المايكا إلى معادن 2:1 الممتدة في كتلة جسم التربة ضعيفة بشكل عام. أظهرت نتائج الفحص بالأشعة السينية الحادة X-ray لترب منطقة الرايزوسفير (0) ولتربة أشجار النارج وجود معدني السمكنايت والمايكا، مع وجود المعدن المستطبق المنتظم مايكا- سمكنايت، في حين بينت النتائج وجود معادن السمكنايت، الكلورايت، والبايوتايت، إضافة لوجود المعادن المستطبة المنتظمة كلورايت- سمكنايت ومايكا- سمكنايت، ضمن نموذج أطيان تربة الرايزوسفير لأشجار النخيل. كما أظهرت الفحوصات الخاصة لنموذج أطيان تربة الرايزوسفير لأشجار التوت، وجود معدني الكلورايت والسمكنايت مع وجود نوعين من المعادن المستطبة هي غير المنتظمة سمكنايت- مايكا والمنتظمة مايكا- سمكنايت. وبشكل عام أظهرت نتائج فحوصات الأشعة السينية الحادة تفوق ترب مناطق الرايزوسفير ولأنواع الأشجار جميعها في شدة عمليات تجوية المايكا وتحولها باتجاه معادن 2:1 الممتدة مقارنة بكتلة جسم التربة Bulk soil، في حين اتخذت ترب مناطق الرايزوسفير من حيث تفوق تجوية معادن المايكا وزيادة محتوى معدن السمكنايت للتتابع الآتي: تربة أشجار التوت < تربة أشجار النخيل < تربة أشجار النارج.

الكلمات المفتاحية: المايكا، الرايزوسفير، الأشعة السينية الحادة.